

## ارزیابی معیارهای رشد ترک در پلیمر مدرج تابعی به روش اجزای محدود\*

مهدی نجیمی<sup>(۱)</sup> فرهاد حاجی ابوطالبی<sup>(۲)</sup> حمید بهشتی<sup>(۳)</sup>

**چکیده** در این پژوهش، ابتدا معیارهای مختلفی مانند معیار بیشینه تنش مماسی، بیشینه نرخ رهائش انرژی و کمینه چگالی انرژی کرنشی مورد ارزیابی قرار می‌گیرند. سپس با به‌کارگیری روش انتگرال تعاملی (انتگرال  $M$ ) در یک پلیمر مدرج تابعی، ضرایب شدت تنش برای حالت‌های مختلف جهت‌گیری ترک و خواص مکانیکی ماده محاسبه می‌گردد. با استفاده از نتایج حاصل، زاویه آغاز ترک از معیارهای مختلف به دست آمده و با نتایج تجربی موجود در مقالات مقایسه می‌شود. نتایج آشکار می‌کند که پیش‌بینی‌های معیارهای بیشینه تنش مماسی و کمینه چگالی انرژی کرنشی به هم نزدیک است ولی معیار کمینه چگالی انرژی کرنشی از دقت بهتری برخوردار است. در آخر، مسیر رشد ترک محاسبه شده با نتایج تجربی موجود در پژوهش‌ها مقایسه می‌گردد و دقت معیار کمینه چگالی انرژی کرنشی، نشان داده می‌شود.

**واژه‌های کلیدی** معیارهای رشد ترک؛ پلیمر مدرج تابعی؛ روش انتگرال تعاملی؛ روش اجزای محدود.

### Evaluation of Crack Growth Criteria in Functionally Graded Polymer using Finite Element Method

M. Najimi F. Haji Aboutalebi H. Beheshti

**Abstract** In this research first, different fracture criteria such as maximum tangential stress, maximum strain energy release rate, and minimum strain energy density are evaluated. Then, employing the interaction integral ( $M$ -integral) method in a functionally graded polymer, stress intensity factors for different directions of the crack orientation and mechanical properties are calculated. Applying the achieved results, the initiation angle of the crack is obtained by the various fracture criteria and compared with the experimental results existed in the papers. The results reveal that the predicted results of the maximum tangential stress and the minimum strain energy density criteria are close to each other but, the minimum strain energy density criterion has better accuracy. Finally, the calculated crack growth path is compared with the experimental results existed in the researches and the accuracy of the minimum strain energy density criterion is shown.

**Key Words** Crack Growth Criteria; Functionally Graded Polymer; Interaction Integral Method; Finite Element Method

\* تاریخ دریافت مقاله ۹۴/۶/۲۴ و تاریخ پذیرش آن ۹۴/۹/۳۰ می‌باشد. DOI: 10.22067/fum-mech.v28i2.49913

(۱) دانشجوی کارشناسی ارشد، مهندسی مکانیک، دانشگاه اصفهان.

(۲) نویسنده مسئول: استادیار، مهندسی مکانیک، دانشگاه اصفهان. f.hajiboutalebi@eng.ui.ac.ir

(۳) دانشیار، مهندسی مکانیک، دانشگاه اصفهان.

## مقدمه

با توسعه فناوری و نیاز به موادی که علاوه بر سختی مطلوب و مقاومت حرارتی زیاد دارای خاصیت چقرمگی بالا نیز باشند، پژوهشگران مجبور به ساخت مواد ترکیبی شدند. به همین دلیل مواد مرکب به عنوان موادی که خواص آنها به صورت لایه‌ای تغییر می‌کند ساخته شدند. این تغییر لایه باعث تمرکز تنش گردید و محققان را بر آن داشت تا موادی با تغییر پیوسته خواص را ابداع نمایند.

مواد مدرج تابعی (Functionally Graded Materials)، مواد مرکبی هستند که خواص آنها به صورت پیوسته و تابعی از موقعیت، تغییر می‌کند. این مواد برای اولین بار در سال ۱۹۸۴ در آزمایشگاه هوافضای ژاپن با ریزساختار ناهمگن تولید شد و خواص مکانیکی آنها به صورت تدریجی و پیوسته از سطحی به سطح دیگر تغییر می‌کرد. این پیوستگی در تغییرات باعث کاهش تنش‌های پسماند و نیز کاهش ضرایب شدت تنش گردید. مواد مدرج تابعی طیف گسترده‌ای از کاربردهای تجاری شامل ابزارهای برش، ابزارهای زیست‌پزشکی، فیبرهای نوری و پوشش‌های مقاوم به سایش و حرارت را شامل می‌شوند [1].

تحقیقات نشان می‌دهد رایج‌ترین مود گسیختگی در این مواد، ایجاد ترک و رشد آن است. تاکنون پژوهش‌های مختلفی بر روی مواد مدرج تابعی انجام گرفته که در ادامه به چند مورد مهم آن اشاره می‌گردد. جین و نودا [2] نشان دادند که میدان‌های اطراف نوک ترک و حالت تکینی در مواد مدرج تابعی همانند مواد همگن است، به شرط آن‌که تغییر خواص به صورت پیوسته تعریف گردد. اردوغان و وو [3] صفحه‌ای ترک‌دار تحت بار با ضریب پواسون ثابت و ضریب یانگ متغیر نمایی را مورد مطالعه قرار دادند. نتیجه تحقیقات ایشان یکی از بهترین تحلیل‌های موجود برای مقایسه با نتایج اجزای محدود می‌باشد.

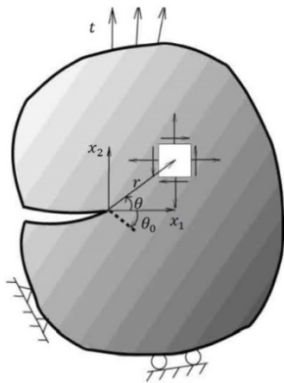
هوانگ و همکاران [4]، تحلیل آسیب ناحیه مدرج تابعی بین دو صفحه را تحت بارهای عمودی، برشی و تغییر شکل صفحه‌ای مورد بررسی قرار دادند. ایشان از روش ماتریس انتقال و تبدیل انتگرال فوریه استفاده کردند و ضرایب شدت تنش ترک را از حل عددی معادلات به دست آوردند. دگ [5,6]، ضرایب شدت تنش را در صفحات مدرج تابعی همسانگرد و ناهمسانگرد تحت بارگذاری حرارتی محاسبه نمود [5,6]. وی از روشی مبتنی بر انتگرال دامنه معادل (Equivalent Domain Integral) برای توسعه تحلیل آسیب مود یک در مواد مدرج تابعی ناهمسانگرد تحت تأثیر تنش‌های حرارتی استفاده کرد. او هم‌چنین در تحقیقی دیگر به توسعه روش انتگرال  $J$  برای محاسبه پارامترهای نوک ترک در مواد مدرج تابعی تحت تنش‌های حرارتی پرداخت. نظری و همکاران [7]، چقرمگی شکست در فولاد مدرج تابعی را بررسی کردند. ایشان فولاد مدرج تابعی را از ذوب الکتریکی الکترودها تولید کردند و نشان دادند که در ساختار جدا شدن ترک، چقرمگی شکست به آرایش قطعات الکتروود اولیه و فاز آن بستگی دارد. آنها هم‌چنین دریافتند که در ساختار توقف ترک، چقرمگی شکست به موقعیت نوک ترک و فاصله آن نسبت به لایه میانی بینیت یا مارتزیت وابسته است. ترشیزیان و کارگرنوین [8]، تحلیل مکانیزم‌های شکست مود ترکیبی دارای ترک با جهت‌گیری دلخواه را در دو جهت صفحه‌ای با مواد مدرج تابعی بررسی نمودند. ایشان با استفاده از تبدیل انتگرال فوریه و روش معادله انتگرال تکین مسئله را حل کردند و ضرایب تمرکز تنش در نوک ترک تحت بارهای مکانیکی را محاسبه نمودند و اثرات جهت‌گیری ترک بر مقدار ضرایب شدت تنش در مود یک و دو شکست را تعیین کردند.

در این پژوهش ابتدا، تعدادی از معیارهای رشد ترک معرفی و در مورد پیش‌بینی زاویه شروع و رشد ترک هر کدام بحث خواهد شد. سپس، انتگرال تعاملی

مواد همگن از خود نشان می‌دهند، حالت تکین در این مواد، هم‌مرتب با مواد همگن و برابر  $(r^{-1/2})$  است و توابع زاویه‌ای نیز همانند مواد همگن است [10, 11]. این همگن بودن محلی امکان استفاده از معیارهای شکست مواد همگن برای مواد مدرج تابعی را با این تفاوت که شرایط در نزدیکی نوک ترک بررسی می‌گردد، فراهم نموده است.

شکل (۲) پارامترهای شکست مود اول، دوم و چقرمگی شکست  $K_{IC}$  (Fracture Toughness) را نشان می‌دهد. اگر نیروی رانش ترک (Crack Driving Force) برای میدان‌های نوک ترک به حد کافی بزرگ باشد که به مرز منحنی برسد، ترک رشد خواهد نمود. منحنی شکست از طریق روش‌های مختلفی مانند تجربی، تحلیلی یا ترکیبی از هر دو به دست می‌آید.

مواد مدرج تابعی در نزدیک نوک ترک رفتاری مانند مواد همگن از خود نشان می‌دهند. در این پژوهش، رشد ترک از طریق معیارهای شکست مواد همگن به صورت محلی مانند معیار بیشینه تنش مماسی (Maximum Tangential Stress)، بیشینه نرخ رهاش انرژی (Maximum Energy Release Rate) و کمینه چگالی انرژی کرنشی (Minimum Strain Energy Density) تعیین می‌گردد. در ادامه این معیارها به صورت مختصر توضیح داده می‌شوند.



شکل ۱ شرایط مرزی و بارگذاری در یک ماده مدرج تابعی دلخواه دارای ترک با زاویه شروع رشد ترک  $\theta_0$  [9]

برای محاسبه ضرایب شدت تنش در مواد مدرج تابعی مورد بررسی قرار خواهد گرفت. در ادامه مثال‌های عددی مورد مطالعه قرار می‌گیرد و نتایج عددی با نتایج تجربی موجود در مقالات مقایسه می‌شود و صحت رفتار ماده مدرج تابعی تأیید می‌گردد. همچنین ضرایب شدت تنش با استفاده از روش انتگرال تعاملی M-integral محاسبه می‌شود؛ زاویه آغاز ترک توسط معیارهای مختلف بررسی می‌گردد و توانایی پیش‌بینی معیارهای مختلف و معیار مناسب مورد مطالعه قرار خواهد گرفت. به منظور صحت‌سنجی رشد ترک، مسیرهای رشد ترک توسط معیار مناسب محاسبه، با نتایج تجربی موجود در پژوهش‌ها مقایسه می‌شود و دقت آن مورد بررسی قرار می‌گیرد.

### معیارهای شکست

مطابق شکل (۱)، در مواد مدرج تابعی میدان تنش برای ترک به صورت الاستیک خطی در نظر گرفته می‌شود و مطابق روابط زیر قابل بیان است [9]:

$$\sigma_{rr} = \frac{1}{\sqrt{2\pi r}} \cos \frac{\theta}{2} \left[ K_I \left( 1 + \sin^2 \frac{\theta}{2} \right) + \frac{3}{2} K_{II} \left( \sin \theta - 2 \tan \frac{\theta}{2} \right) \right] \quad (1)$$

$$\sigma_{\theta\theta} = \frac{1}{\sqrt{2\pi r}} \cos \frac{\theta}{2} \left[ K_I \cos^2 \frac{\theta}{2} - \frac{3}{2} K_{II} \sin \theta \right] \quad (2)$$

$$\sigma_{r\theta} = \frac{1}{2\sqrt{2\pi r}} \cos \frac{\theta}{2} \left[ K_I \sin \theta + K_{II} (3 \cos \theta - 1) \right] \quad (3)$$

$K_I$  و  $K_{II}$  به مود اول و دوم ضرایب شدت تنش اشاره می‌کند. نکته مهم در مورد میدان‌های تنش در مواد مدرج تابعی این است که چون این میدان‌ها در نزدیک نوک ترک بررسی می‌گردند، به علت کوچک بودن ناحیه مورد بررسی، در این ناحیه رفتاری همانند

بیشینه گردد و زمانی رشد آن آغاز خواهد شد که مقدار بیشینه نرخ رهايش انرژی به یک مقدار بحرانی برسد:

$$\frac{\partial G(\theta)}{\partial \theta} = 0, \frac{\partial^2 G(\theta)}{\partial \theta^2} < 0 \rightarrow \theta = \theta_0 \quad (6)$$

ایشان یک حل الاستیک برای ترک اصلی مستقیم و یک شاخه ترک که با زاویه دلخواه گسترش می‌یافت، به دست آوردند و نرخ رهايش انرژی را به صورت زیر بیان نمودند:

$$G(\theta) = \frac{4}{E_{tip}^*} \left( \frac{1}{3 + \cos^2 \theta} \right)^2 \left( \frac{1 - \frac{\pi}{\theta}}{1 + \frac{\pi}{\theta}} \right)^{\frac{\theta}{\pi}} \times [(1 + 3 \cos^2 \theta) K_I^2 + 8 \sin \theta \cos \theta K_I K_{II} + (9 - 5 \cos^2 \theta) K_{II}^2] \quad (7)$$

لذا زاویه آغاز ترک از طریق معادله زیر به دست می‌آید:

$$\frac{\partial G(\theta)}{\partial \theta} = 0, \frac{\partial^2 G(\theta)}{\partial \theta^2} < 0 \rightarrow \theta = \theta_0 \quad (8)$$

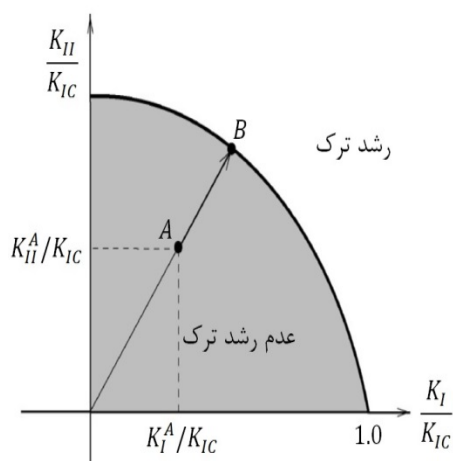
اکنون با توجه به زاویه آغاز ترک حاصل، شرایط آغاز ترک به صورت زیر خواهد بود:

$$G(\theta_0) = G_C(x) \quad (9)$$

در معادله فوق،  $G_C(x)$  نرخ رهايش انرژی بحرانی است که از طریق رابطه (۱۰) قابل محاسبه است:

$$G_C(x) = \frac{K_{IC}^2(x)}{E_{tip}^*} \quad (10)$$

معيار کمينه چگالي انرژی کرنشی. سیه [14] معيار کمينه چگالي انرژی کرنشی را برای مواد همگن ارائه نمود. این معيار پیش‌بینی می‌کند، ترک در جهتی رشد



شکل ۲ منحنی شکست شامل مود اول، دوم و چقرمگی شکست (پارامترها نسبت به  $K_{IC}$  بی‌بعد شده‌اند)

معيار بیشینه تنش مماسی. اردوغان و سیه [12] برای اولین بار معيار بیشینه تنش مماسی را پیشنهاد دادند. براساس این معيار، ترک در جهتی که بیشینه تنش مماسی  $\sigma_{\theta\theta}$  اتفاق می‌افتد رشد می‌کند و در این جهت، تنش برشی  $\sigma_{r\theta}$  برابر صفر خواهد بود. هم‌چنین زاویه آغاز رشد ترک  $\theta_0$  از طریق معادلات زیر حاصل می‌گردد:

$$\frac{\partial \sigma_{\theta\theta}}{\partial \theta} = 0, \frac{\partial^2 \sigma_{\theta\theta}}{\partial \theta^2} < 0 \rightarrow \theta = \theta_0 \quad (4)$$

در معادله فوق، قسمت اول مربوط به بیشینه یا کمینه بودن و قسمت دوم مربوط به بیشینه بودن است. با جایگزین کردن تنش در معادله (۴) شرایط آغاز ترک به صورت معادله زیر تعیین می‌شود:

$$\cos\left(\frac{\theta_0}{2}\right) \left[ K_I \cos^2 \frac{\theta_0}{2} - \frac{3}{2} K_{II} \sin \theta_0 \right] = K_{IC}(x) \quad (5)$$

معيار بیشینه نرخ رهايش انرژی. هوشین و همکاران [13]، معيار بیشینه نرخ رهايش انرژی را برای مواد همگن ارائه دادند. مطابق معيار پیشنهادی ایشان، ترک در جهتی رشد خواهد کرد که نرخ رهايش انرژی

$$\sigma^{aux} = C(x) \varepsilon^{aux} \quad (14)$$

که  $C(x)$  تانسور سفتی است. میدان‌های جابه‌جایی، تنش و کرنش به صورت زیر انتخاب می‌گردند:

$$u^{aux} = \frac{K_I^{aux}}{\mu_{tip}} \sqrt{\frac{r}{2\pi}} g^I(\theta) + \frac{K_{II}^{aux}}{\mu_{tip}} \sqrt{\frac{r}{2\pi}} g^{II}(\theta) \quad (15)$$

$$u^{aux} = \frac{K_I^{aux}}{\mu_{tip}} \sqrt{\frac{r}{2\pi}} g^I(\theta) + \frac{K_{II}^{aux}}{\mu_{tip}} \sqrt{\frac{r}{2\pi}} g^{II}(\theta) \quad (16)$$

$$\varepsilon^{aux} = (\text{sym } \nabla) u^{aux} \quad (17)$$

$K_I^{aux}$  و  $K_{II}^{aux}$  به ترتیب ضرایب شدت تنش مود اول و دوم کمکی و  $\mu_{tip}$  مدول برشی در نوک ترک است. توابع  $g^I(\theta)$ ،  $g^{II}(\theta)$  و ضرایب آن در مراجع [9,15] موجود می‌باشد. انتگرال تعاملی با استفاده از انتگرال مستقل از مسیر  $J$  که توسط رایس (Rice) [17] ارائه شده، برای مواد مدرج تابعی دارای ترک در حالت الاستیک و دو حالت واقعی و کمکی به دست می‌آید و به صورت رابطه (۱۸) نوشته می‌شود [18]:

$$M = \int_A \left\{ \sigma_{ij} u_{i,1}^{aux} + \sigma_{ij}^{aux} u_{i,1} - \sigma_{ik} \varepsilon_{ik}^{aux} \delta_{1j} \right\} q_{,j} dA + \int_A \left\{ \sigma_{ij}^{aux} u_{i,1} - C_{ijkl,1} \varepsilon_{kl}^{aux} \right\} q dA \quad (18)$$

ارتباط بین انتگرال  $J$  و ضرایب شدت تنش مود اول و دوم به صورت معادله (۱۹) می‌باشد:

$$J_{local} = (K_I^2 + K_{II}^2) / E_{tip}^* \quad (19)$$

که در حالت تنش صفحه‌ای  $E_{tip}^* = E_{tip}$  و در حالت کرنش صفحه‌ای  $E_{tip}^* = E_{tip} / (1 - \nu_{tip}^*)$  خواهد بود. برای دو میدان واقعی  $(u, \varepsilon, \sigma)$  و کمکی  $(u^{aux}, \varepsilon^{aux}, \sigma^{aux})$  می‌توان نوشت [19]:

خواهد کرد که  $S$  ضریب چگالی انرژی کرنشی کمینه شود. بنابراین زاویه آغاز ترک  $\theta_0$  به صورت زیر تعیین می‌گردد:

$$\frac{\partial S(\theta)}{\partial \theta} = 0, \frac{\partial^2 S(\theta)}{\partial \theta^2} > 0 \rightarrow \theta = \theta_0 \quad (11)$$

اکنون با تعیین زاویه آغاز ترک، شرایط آغاز ترک به صورت زیر به دست می‌آید:

$$S(\theta_0) = S_C(x) \quad (12)$$

در رابطه فوق،  $S_C(x)$  ضریب چگالی انرژی کرنشی است و به صورت زیر قابل محاسبه خواهد بود:

$$S_C(x) = \frac{\kappa_{tip} - 1}{8 \mu_{tip}} K_{IC}^2(x) \quad (13)$$

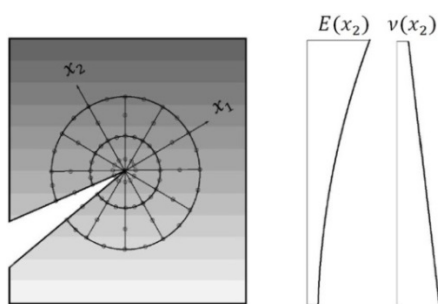
که  $\mu_{tip}$  مدول برشی در نوک ترک است.

### روش انتگرال تعاملی (Interaction Integral)

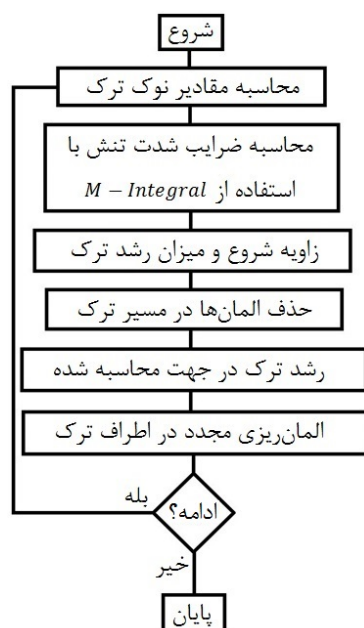
روش انتگرال تعاملی (M-integral) روشی دقیق جهت محاسبه ضرایب شدت تنش در مواد مدرج تابعی است [9, 15, 16]. این روش، برای محاسبه ضرایب شدت تنش در مود ترکیبی از میدان‌هایی کمکی مانند جابه‌جایی  $(u^{aux})$ ، کرنش  $(\varepsilon^{aux})$  و تنش  $(\sigma^{aux})$  مناسب استفاده می‌کند. انتخاب‌های متنوعی برای میدان‌های کمکی در مواد مدرج تابعی وجود دارد. در این تحقیق مطابق مرجع [15] از میدان تنش غیرتعادلی و یک راه‌حل غیرتعادلی که از توسعه میدان‌های جابه‌جایی و کرنش مواد همگن حاصل گردیده استفاده می‌شود.

معادله ساختاری ماده به صورت زیر قابل بیان است:

می‌کند. نرم‌افزار فوق هم‌چنین برای پیش‌بینی زاویه شروع و رشد ترک از چند گام استفاده می‌کند که الگوریتم حل آن در شکل (۴) نشان داده شده است.



شکل ۳ المان‌های نوک ترک در مواد مدرج تابعی



شکل ۴ الگوریتم حل جهت رشد ترک

تغییر کلیه خواص مانند ضریب الاستیک، ضریب پواسون، چقرمگی شکست، ضخامت (در صورت نیاز) و غیره به صورت توابعی خطی تعریف می‌گردد. ابتدا هندسه مسئله ایجاد می‌شود و پس از المان‌بندی، انتساب ماده به صورت تابعی انجام می‌شود. با اعمال شرایط مرزی، بارگذاری و محل ترک، یک تحلیل خطی بر روی هندسه دارای ترک انجام می‌گردد و

$$J_{local}^s = \frac{(K_I + K_I^{aux})^2 + (K_{II} + K_{II}^{aux})^2}{E_{tip}^*} \quad (20)$$

$$= J_{local} + J_{local}^{aux} + M_{local}$$

در معادله اخیر، از طریق رابطه زیر محاسبه می‌گردد:

$$J_{local}^{aux} = [(K_I^{aux})^2 + (K_{II}^{aux})^2] / E_{tip}^* \quad (21)$$

$M_{local}$  نیز از طریق معادله (۲۲) به دست می‌آید:

$$M_{local} = 2(K_I K_I^{aux} + K_{II} K_{II}^{aux}) / E_{tip}^* \quad (22)$$

در نتیجه ضرایب شدت تنش از طریق روابط زیر قابل محاسبه‌اند:

$$K_I = M_{local}^{(1)} E_{tip}^* / 2 \quad (23)$$

$$(K_I^{aux} = 1.0, K_{II}^{aux} = 0.0)$$

$$K_{II} = M_{local}^{(2)} E_{tip}^* / 2 \quad (24)$$

$$(K_I^{aux} = 0.0, K_{II}^{aux} = 1.0)$$

ارتباط بین معادلات (۲۳ و ۲۴) همانند مواد همگن است، با این تفاوت که برای مواد مدرج تابعی، مقادیر مورد نظر در نوک ترک ارزیابی می‌شوند.

### شبیه‌سازی اجزای محدود

برای انجام شبیه‌سازی آغاز و رشد ترک از نرم‌افزار فرنک دو بعدی (Fracture Analysis Software 2 Dimension- Franc2D (Cornell)) ارائه و توسعه داده شده است، استفاده می‌گردد. در این نرم‌افزار امکان تعریف المان‌های تابعی برای تعریف مواد ناهمگن وجود دارد.

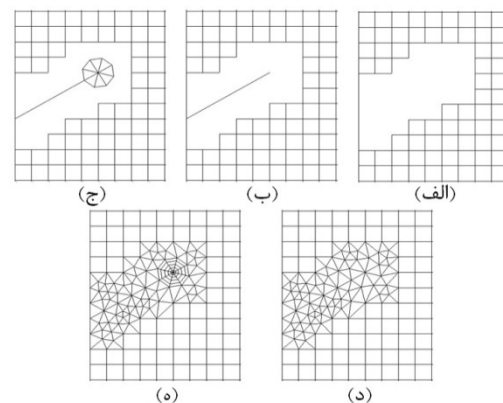
مطابق شکل (۳)، این نرم‌افزار از المان‌های مثلثی که دارای شش گره هستند برای خشی کردن اثر تکنیکی نوک ترک که از مرتبه  $O(r^{-1/2})$  است، استفاده

هندسه از طریق المان‌های ایزوپارامتریک (Isoparametric) تابعی تعریف می‌گردد. مطابق شکل (۵-ه)، المان‌های مورد استفاده شامل المان‌های مثلثی شش‌گره‌ای (T6qp)، که گره‌های میانی در فاصله یک‌چهارم طول ضلع و نزدیک نوک ترک هستند) برای نوک ترک، المان‌های هشت‌گره‌ای (Q8) برای نواحی دورتر و المان‌های مثلثی منظم (T6) برای فضای بین المان‌های نوک ترک و هشت‌گره‌ای می‌باشد.

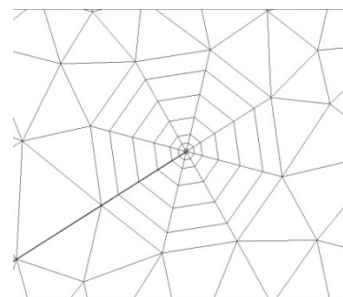
در این بخش سه مثال در حالت‌های مختلف مورد بررسی بوده‌اند و پس از انجام شبیه‌سازی‌های اجزای محدود، نتایج عددی حاصل با نتایج تجربی آبانتو و لامبروس [20] مورد مقایسه قرار می‌گیرد. ایشان ابتدا، ورقه‌های نازکی از یک پلیمر به ابعاد ۳۰۰ و ۱۵۰ میلی‌متر را برای مدت زمان متغیر ۵ تا ۳۰۰ ساعت تحت تابش قرار دادند. در اثر تابش، خواص مکانیکی پلیمر از سمتی به سمت دیگر و از حالت نرمی به تردی تغییر نمود. سپس، ورقه‌ها را در حالت‌های مختلف بریدند، تحت کشش خالص قرار دادند و رشد ترک را در آنها بررسی کردند.

**صفحه مدرج تابعی با ترک مایل و تغییر خواص در جهت عرضی.** مطابق شکل (۷)، یک صفحه مدرج تابعی نازک دارای ترک مایل که تغییر خواص آن در راستای عرضی است، در نظر گرفته می‌شود. تغییرات مدول الاستیک، تنش و کرنش شکست صفحه در شکل (۸) نشان داده شده است. هم‌چنین ابعاد هندسی صفحه و جهت‌گیری ترک در جدول (۱) بیان شده است. برای یافتن بهتر موقعیت مدل نسبت به تغییر خواص، موقعیت نوک ترک نسبت به لبه سخت‌تر نیز در جدول ارائه گردیده است. ضریب پواسون و ضخامت در همه‌جا یکسان و به ترتیب برابر با ۰/۴۵ و ۰/۴۰۶ میلی‌متر می‌باشد. جابه‌جایی یکنواخت به لبه بالایی صفحه و در راستای لا اعمال می‌گردد؛ لبه پایینی در جهت عمودی مقید می‌شود و به منظور جلوگیری از حرکت صلب، جابه‌جایی افقی گوشه پایین سمت راست صفحه نیز محدود می‌شود.

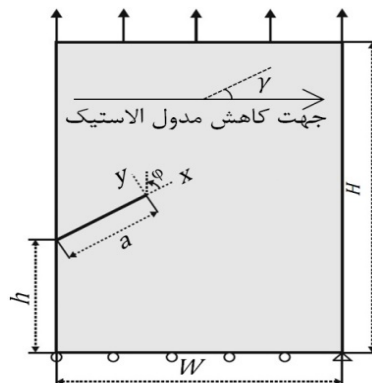
ضریب شدت تنش به روش انتگرال تعاملی محاسبه می‌شوند. از ضرایب شدت تنش برای محاسبه جهت رشد ترک در هر یک از معیارهای پیشینه تنش مماسی، پیشینه نرخ رهایش انرژی و کمینه چگالی انرژی کرنشی، استفاده می‌گردد. به‌علاوه از چقرمگی شکست نمونه و ضرایب شدت تنش، برای تعیین شرایط رشد ترک استفاده می‌شود. براساس میزان رشد ترک تعریف شده و زاویه  $\theta_0$ ، ابتدا موقعیت نوک ترک جدید مشخص می‌گردد. سپس المان‌ها از اطراف آن حذف می‌شود و ترک رشد داده می‌شود. در ادامه، المان‌های جدید در اطراف نوک ترک ریخته می‌شود و المان‌های حذف‌شده نیز مطابق با المان‌های نوک ترک تجدید می‌گردند. المان‌بندی مجدد، خواص المان‌های اصلی مانند خواص تابعی را حفظ می‌کند. شکل (۵) نمایی از المان‌بندی مجدد و شکل (۶) تصویری از المان‌های نوک ترک را نشان می‌دهد.



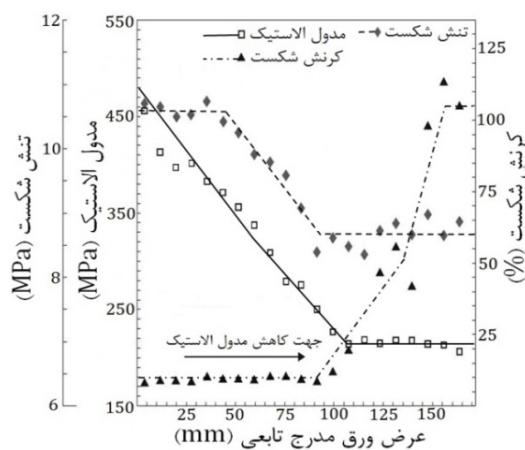
شکل ۵ مراحل المان‌بندی مجدد



شکل ۶ المان‌های نوک ترک



شکل ۷ هندسه و شرایط مرزی صفحه مدرج تابعی با ترک مایل و تغییر خواص در جهت عرضی



شکل ۸ خواص مکانیکی مدل

جدول ۱ ابعاد هندسی و جهت گیری ترک

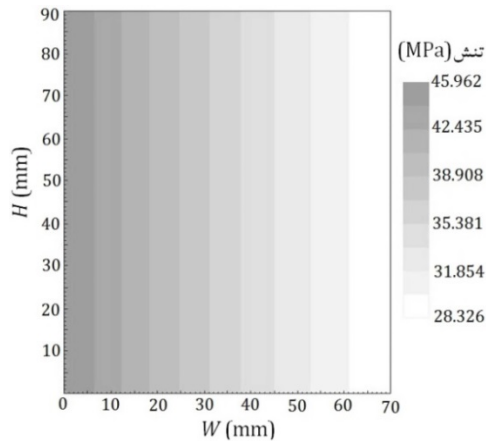
ابعاد هندسی مدل						
H (mm)	W (mm)	h (mm)	a (mm)	موقعیت نوک ترک (mm)	$\varphi$ (rad)	$\gamma$ (rad)
۹۰	۷۰	۴۵	۲۶	۴۳	$\pi/۳$	$-\pi/۶$

استفاده از رابطه  $\sigma_{yy}W(1 - \nu^2)/E_1V_0$  که  $E_1$  مدول الاستیک در لبه سمت چپ است، بی‌بعد می‌شود و مطابق شکل (۱۰) با نتایج تجربی اردوغان و سیه [12] مقایسه می‌گردد. مطابق شکل فوق، حداکثر خطا ۰/۳۷ درصد است که این میزان ناچیز خطا، بیانگر دقت بالای شبیه‌سازی‌ها بوده و نتایج عددی را کاملاً تأیید می‌نماید.

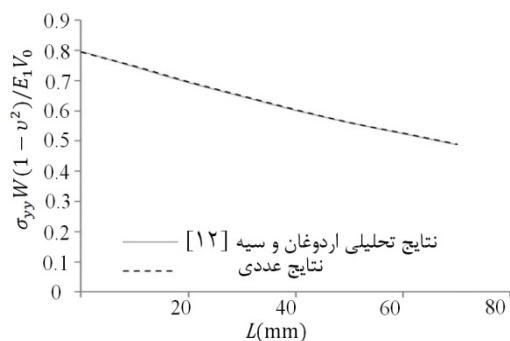
رفتار ماده به صورت الاستیک خطی مدل گردیده است و به منظور صحت‌سنجی رفتار ماده مدرج تابعی، ابتدا قطعه سالم و بدون ترک شبیه‌سازی می‌شود و نتایج عددی اعتبارسنجی می‌گردند. برای انجام این کار ابتدا جابه‌جایی یکنواخت ۱۰ میلی‌متر در راستای  $y$  به لبه بالایی صفحه اعمال می‌شود و توزیع تنش صفحه مطابق شکل (۹) حاصل می‌گردد. سپس، مقادیر تنش با



دقت این معیار، تأثیر تنش  $T$  نیز به این معیار اضافه می‌گردد که باعث بهبود نتایج معیار فوق در این مواد می‌شود [23,24].



شکل ۹ توزیع تنش در آزمایش کشش قطعه سالم برای صحت‌سنجی رفتار ماده



شکل ۱۰ مقایسه مقادیر تنش بی‌بعد شده با نتایج تجربی اردوغان و سیه [12]

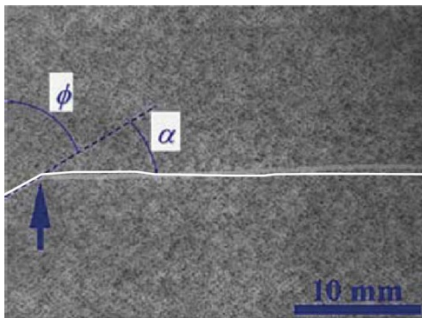
برای ارزیابی و مقایسه دقت معیارهای بیشینه تنش مماسی، بیشینه نرخ رهايش انرژي و کمینه چگالی انرژی کرنشی، مطابق شکل (۷) نمونه دارای ترک شبیه‌سازی می‌گردد، ضرایب شدت تنش و زاویه آغاز ترک به دست آمده با نتایج تجربی آبانو و لامبروس [20] و اورال و همکاران [21] مقایسه می‌شود. جدول (۲) این مقایسه را نشان می‌دهد. لازم به ذکر است که زاویه شروع رشد ترک ( $\alpha$ )، نسبت به راستای اولیه ترک سنجیده می‌گردد.

همان‌گونه که جدول (۲) بیان می‌نماید، معیارهای بیشینه تنش مماسی و کمینه چگالی انرژی کرنشی نتایج دقیقی را پیش‌بینی می‌کنند ولی پیش‌بینی معیار کمینه چگالی انرژی کرنشی، بیشتر به نتایج تجربی، نزدیک‌تر است و در نتیجه معیار دقیق‌تری است.

نتایج معیار بیشینه نرخ رهايش انرژي دارای خطای زیادی است و علت آن این است که تأثیر عبارات غیر منفرد (Non-Singular) مانند تنش  $T$  (Stress) در مواد پلیمری و هم‌چنین نحوه بارگذاری، قابل ملاحظه است و این معیار به پارامترهای فوق وابسته است. تنش  $T$  عبارت غیر منفردی است که معمولاً از آن چشم‌پوشی می‌گردد و اساساً در مود ترکیبی تأثیر بیشتری دارد [22]. در معیار بیشینه نرخ رهايش انرژي، تنش  $T$  به مود ترکیبی (Mixed Mode) که توسط  $\psi = \tan^{-1} \left( \frac{K_{II}}{K_I} \right)$  تعریف می‌گردد وابسته است. هرچه مقدار  $\psi$  به صفر و شرایط به مود اول شکست نزدیک‌تر باشد، این معیار نتایج دقیق‌تری را نشان می‌دهد. در مواردی به‌منظور بهبود

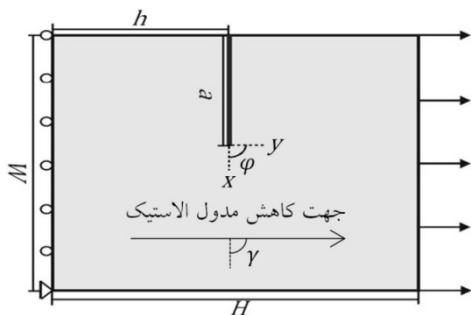
جدول ۲ مقایسه ضرایب شدت تنش و زاویه آغاز ترک با نتایج تجربی آبانو و لامبروس [20] و اورال و همکاران [21]

خطا (%)	زاویه آغاز ترک	$K_{II}(\text{MPa}\sqrt{\text{m}})$	$K_I(\text{MPa}\sqrt{\text{m}})$	نتایج
	$-28 \pm 1/5$	۰/۱۷۹	۰/۷۵۵	آبانو و لامبروس [20]
		۰/۲۰۴	۰/۷۲۲	اورال و همکاران [21]
		۰/۲۲۵	۰/۷۳۵	شبیه‌سازی
۵/۴۶	$-29/53$	۰/۲۲۵	۰/۷۳۵	$\sigma_{\theta\theta} \text{Max}$
۱۵۹/۳۲	۱۶/۶۱	۰/۲۲۵	۰/۷۳۵	$G(\theta) \text{Max}$
۰/۱۴	$-28/04$	۰/۲۲۵	۰/۷۳۵	$S(\theta) \text{Min}$



شکل ۱۱ مقایسه رشد ترک معیار  $S_{Min}$  با نتایج تجربی آبانتو و لامبروس [20]

به منظور بررسی مسیر رشد ترک، نتایج پیش‌بینی معیار دقیق‌تر یعنی معیار کمینه چگالی انرژی کرنشی در نظر گرفته می‌شود و با نتایج تجربی مقایسه می‌گردد. شکل (۱۱) مقایسه نتایج حاصل از معیار فوق را با نتایج تجربی آبانتو و لامبروس [20] آشکار می‌کند. مطابق شکل نتایج رشد ترک با دقت مناسبی از نتایج تجربی تبعیت می‌نماید. برای مقایسه راحت‌تر، مسیر رشد ترک پیش‌بینی شده با رنگ سفید نمایش داده شده است.

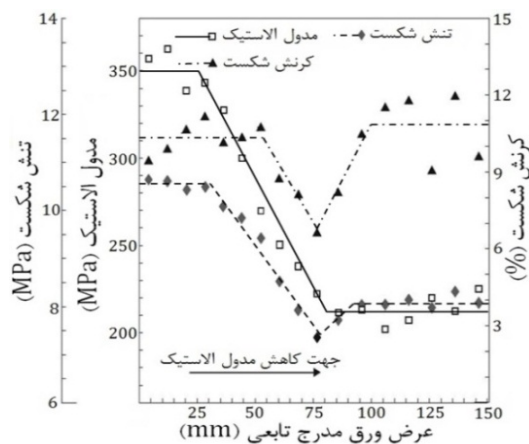


شکل ۱۲ هندسه و شرایط مرزی صفحه مدرج تابعی با ترک افقی و تغییر خواص در جهت عمود بر ترک

صفحه مدرج تابعی با ترک افقی و تغییر خواص در جهت عمود بر ترک. مطابق شکل (۱۲) صفحه مدرج تابعی با ترک افقی مدل می‌شود و خواص به گونه‌ای تعریف می‌گردد که با راستای ترک زاویه قائمه بسازد. ابعاد هندسی، زوایا و جهت‌گیری ترک در جدول (۳) ارائه شده است. همچنین شکل (۱۳) خواص مکانیکی و نحوه قرارگیری مدل نسبت به خواص ماده را نمایش می‌دهد.

جدول ۳ ابعاد هندسی و جهت‌گیری ترک

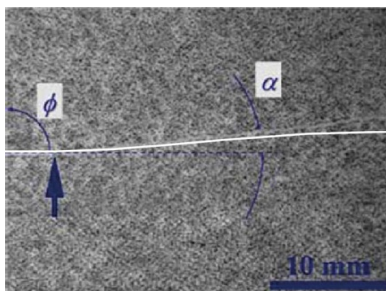
ابعاد هندسی مدل						
H (mm)	W (mm)	h (mm)	a (mm)	موقعیت نوک ترک (mm)	$\phi$ (rad)	$\gamma$ (rad)
۷۵	۷۰	۳۲/۵	۳۰	۵۲	$\pi/۲$	$\pi/۲$



شکل ۱۳ خواص مکانیکی مدل

جدول ۴ مقایسه ضرایب شدت تنش و زاویه آغاز ترک با نتایج تجربی آبانتو و لامبروس [20] و اورال و همکاران [21]

نتایج	$K_{II}(\text{MPa}\sqrt{\text{m}})$	$K_I(\text{MPa}\sqrt{\text{m}})$	زاویه آغاز ترک	انحراف (درجه)
آبانتو و لامبروس [20]	۰/۵۵۴	۰/۳۹	$0 \pm 1/5$	
اورال و همکاران [21]	۰/۵۵۱	-۰/۰۲۲		
شبیه‌سازی	۰/۵۶۰	-۰/۰۰۷		
$\sigma_{\theta\theta \text{Max}}$	۰/۵۶۰	-۰/۰۰۷	۱/۴۳	۱/۴۳
$G(\theta)_{\text{Max}}$	۰/۵۶۰	-۰/۰۰۷	-۰/۷۵	-۰/۷۵
$S(\theta)_{\text{Min}}$	۰/۵۶۰	-۰/۰۰۷	۱/۴۳	۱/۴۳



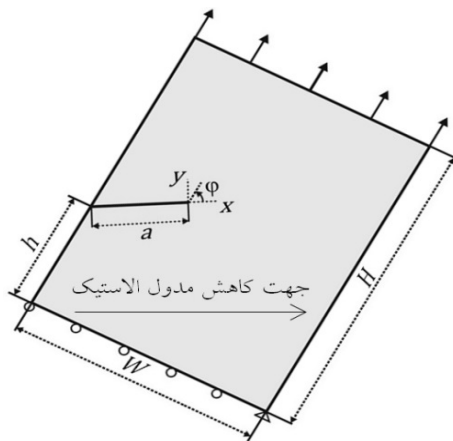
شکل ۱۴ مقایسه رشد ترک معیار  $S_{\text{Min}}$  با نتایج تجربی آبانتو و لامبروس [20]

**صفحه مدرج تابعی با ترک مایل و تغییر خواص در جهت ترک.** صفحه مدرج تابعی با ترک مایل شبیه‌سازی شده در مثال اول مجدداً در نظر گرفته می‌شود. در این مسئله به جای تغییر خواص در جهت عرضی، خواص در راستای ترک تغییر داده می‌شود. ابعاد هندسی، شرایط مرزی و جهت‌گیری ترک در شکل (۱۵) و جدول (۵) آورده شده است. هم‌چنین تغییر خواص ماده و نحوه قرارگیری مدل نسبت به خواص در شکل (۱۶) مشخص گردیده است.

پس از انجام شبیه‌سازی‌های عددی، ضرایب شدت تنش و زاویه شروع ترک ( $\alpha$ ) توسط معیارهای مختلف محاسبه می‌شود. جدول (۶) مقایسه نتایج عددی حاصل را با نتایج تجربی آبانتو و لامبروس [20] و اورال و همکاران [21] نمایش می‌دهد. همانند مثال‌های قبلی، در این مثال نیز معیار کمینه چگالی انرژی کرنشی نتایج دقیق‌تری را نسبت به دو معیار دیگر نشان می‌دهد. مسیر ترک پیش‌بینی شده توسط این معیار و مقایسه آن با نتایج تجربی آبانتو و لامبروس [20] نیز در شکل (۱۷) آورده شده است.

شبیه‌سازی‌های عددی انجام شده، ضرایب شدت تنش و زاویه شروع ترک ( $\alpha$ ) توسط معیارهای مختلف محاسبه می‌گردد. جدول (۴) مقایسه نتایج عددی حاصل را با نتایج تجربی آبانتو و لامبروس [20] و اورال و همکاران [21] نمایش می‌دهد. مطابق این جدول، معیارهای بیشینه تنش مماسی و کمینه چگالی انرژی کرنشی نتایج یکسانی را پیش‌بینی می‌نمایند. لازم به ذکر است که معیار بیشینه نرخ رهايش انرژی نتایج دقیقی را پیش‌بینی می‌کند. علت این است که چون در مسئله فوق تغییر خواص عمود بر راستای ترک می‌باشد و بارگذاری نیز در راستای تغییر خواص و عمود بر ترک می‌باشد، در نوک ترک مود دوم کمتر تحریک می‌شود و این عامل باعث می‌شود که جسم تحت مود اول شکست قرار بگیرد. مقادیر کوچک و نزدیک به صفر  $K_{II}$ ، دلیل فوق را تأیید می‌کند. در واقع زمانی که جسم تحت مود اول شکست باشد، مقدار تنش  $T$  تأثیر کمتری دارد و می‌توان از معیار بیشینه نرخ رهايش انرژی نیز استفاده کرد [22].

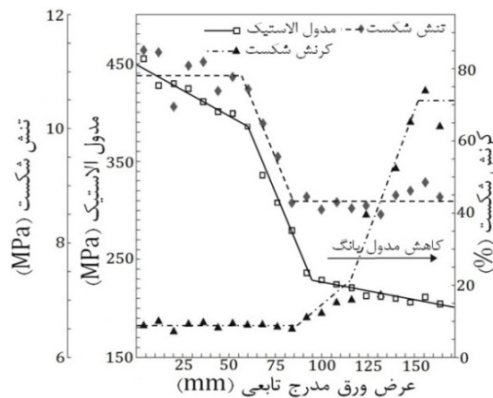
در این مثال چون زاویه آغاز ترک ارائه شده توسط آبانتو و لامبروس برابر صفر می‌باشد، برای مقایسه به جای درصد خطا از انحراف استفاده گردید. شکل (۱۴) مسیر ترک پیش‌بینی شده توسط معیار کمینه چگالی انرژی کرنشی و مقایسه آن با نتایج تجربی آبانتو و لامبروس [20] را نشان می‌دهد. همان‌گونه که شکل آشکار می‌نماید، نتایج عددی و تجربی از مطابقت خوبی برخوردار می‌باشند.



شکل ۱۵ هندسه و شرایط مرزی صفحه مدرج تابعی با ترک مایل و تغییر خواص در جهت ترک

جدول ۵ ابعاد هندسی و جهت گیری ترک

ابعاد هندسی مدل						
H (mm)	W (mm)	h (mm)	a (mm)	موقعیت نوک ترک (mm)	$\varphi$ (rad)	$\gamma$ (rad)
۹۰	۷۰	۴۵	۲۵	۵۷	$\pi/3$	صفر

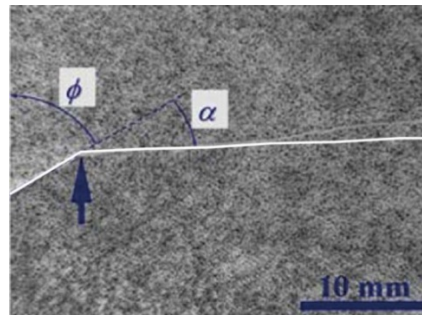


شکل ۱۶ خواص مکانیکی مدل

جدول ۶ مقایسه ضرایب شدت تنش و زاویه آغاز ترک با نتایج تجربی آبانتو و لامبروس [20] و اورال و همکاران [21]

خطا (%)	زاویه آغاز ترک	$K_{II} (MPa\sqrt{m})$	$K_I (MPa\sqrt{m})$	نتایج
	$-19 \pm 1/5$	۰/۲۲۴	۰/۹۶۹	آبانتو و لامبروس [20]
		۰/۲۳۰	۰/۸۷۸	اورال و همکاران [21]
		۰/۲۱۰	۰/۹۱۵	شبیه سازی
۲۴/۴۷	$-23/65$	۰/۲۱۰	۰/۹۱۵	$\sigma_{\theta\theta Max}$
۱۶۸/۳۶	۱۲/۹۹	۰/۲۱۰	۰/۹۱۵	$G(\theta)_{Max}$
۱۹/۶۸	$-22/74$	۰/۲۱۰	۰/۹۱۵	$S(\theta)_{Min}$

می‌دهد. در آخر، مسیر رشد ترک محاسبه شده با نتایج تجربی موجود در پژوهش‌ها مقایسه گردیده و دقت معیار کمینه چگالی انرژی کرنشی نشان داده شد.



شکل ۱۷ مقایسه رشد ترک معیار  $S_{Min}$  با نتایج تجربی آبانو و لامبروس [20]

### فهرست علائم

$C$	تانسور سفتی (MPa)
$E$	مدول الاستیک (MPa)
$G$	نرخ رهایش انرژی (MPa · m)
$K$	ضریب شدت تنش ( $\text{MPa} \cdot \text{m}^{\frac{1}{2}}$ )
$r$	شعاع (m)
$u$	جابه‌جایی (m)
$W$	کار لازم برای بستن ترک بر واحد ضخامت ( $\text{J} \cdot \text{m}^{-1}$ )

### علائم یونانی

$\epsilon$	کرنش
$\theta$	زاویه (degree)
$\mu$	مدول الاستیسیته برشی (MPa)
$\sigma$	تنش (MPa)

### بالانویس‌ها

$aux$  کمکی

### زیرنویس‌ها

$0$	مقدار در لحظه اولیه
$C$	مقدار نهایی در لحظه شکست
$I$	مود اول شکست
$IC$	مقادیر در لحظه شکست و مود اول
$II$	مود دوم شکست
$rr$	در راستای شعایی
$r\theta$	در راستای برشی
$tip$	نوک ترک
$\theta\theta$	در راستای مماسی

### نتیجه‌گیری و جمع‌بندی

در این پژوهش، به بررسی رفتار شکست در یک پلیمر مدرج تابعی پرداخته شد و ابتدا معیارهای مختلفی مانند معیار بیشینه تنش مماسی، بیشینه نرخ رهایش انرژی و کمینه چگالی انرژی کرنشی مورد ارزیابی قرار گرفت. سپس، با به‌کارگیری روش انتگرال تعاملی (انتگرال  $M$ ) که روشی دقیق برای تعیین ضرایب شدت تنش در مواد مدرج تابعی است، الگوریتم محاسبه ضرایب شدت تنش و تعیین مسیر رشد ترک، ارائه شد. در ادامه، رفتار ماده مدرج تابعی در یک صفحه فاقد ترک مطالعه و درستی رفتار ماده صحت‌سنجی گردید. همچنین با استفاده از روش انتگرال تعاملی، رفتار ماده مدرج تابعی بررسی شد و ضرایب شدت تنش برای حالت‌های مختلف جهت‌گیری ترک و خواص مکانیکی ماده محاسبه گردید. با استفاده از نتایج حاصل، زاویه آغاز ترک از معیارهای مختلف به دست آمده و ارزیابی گردید. نتایج آشکار کرد که پیش‌بینی‌های معیارهای بیشینه تنش مماسی و کمینه چگالی انرژی کرنشی به هم نزدیک می‌باشد ولی معیار کمینه چگالی انرژی کرنشی از دقت بهتری برخوردار است. علت دقت کمتر معیار بیشینه نرخ رهایش انرژی نیز این است که پارامترهای غیرمفرد مانند تنش  $T$  تأثیرگذار است، ولی اثر آن لحاظ نگردیده است. در واقع هرچه مقدار  $\psi$  به صفر و شرایط به مود اول شکست نزدیک‌تر باشد، این معیار نتایج دقیق‌تری را نشان

## مراجع

1. Hirai, T., "Functionally gradient materials and nanocomposites", *Proceedings of the Second International Symposium on Functionally Gradient Materials*, San Francisco, CA, November 1-4, Vol. 34 of Ceramic Transactions, pp. 11-20, (1993).
2. Jin, Z.H. and Noda, N., "Crack tip singular fields in nonhomogeneous materials", *Journal of Applied Mechanics*, Transactions ASME 61, pp. 738-740, (1994).
3. Erdogan, F. and Wu, B.H., "The surface crack problem for a plate with functionally graded properties", *Journal of Applied Mechanics*, Vol. 64, pp. 449-456, (1997).
4. Huang, G.Y., Wang, Y.S. and Yu, S.W., "Fracture analysis of a functionally graded interfacial zone under plane deformation", *International Journal of Solids and Structures*, Vol. 41, pp. 731-743, (2004).
5. Dag, S., "Thermal fracture analysis of orthotropic functionally graded materials using an equivalent domain integral approach", *Engineering Fracture Mechanics*, Vol. 73, pp. 2802-2828, (2006).
6. Dag, S., "Mixed-mode fracture analysis of functionally graded materials under thermal stresses: a new approach using  $J_k$ -integral", *Journal of Thermal Stresses*, Vol. 30, pp. 269-296, (2007).
7. Nazari, A., Mohandesi, J.A. and Riahi, R., "Fracture toughness of functionally graded steels", *Journal of Materials Engineering and Performance*, Vol. 21, pp. 558-563, (2012).
8. Torshizian, M.R. and Kargarnovin, M.H., "The mixed-mode fracture mechanics analysis of an embedded arbitrary oriented crack in a two-dimensional functionally graded material plate", *International Journal of Fracture*, Vol. 84, pp. 625-637, (2014).
9. Kim, J.H. and Paulino, G.H., "The interaction integral for fracture of orthotropic functionally graded materials: Evaluation of stress intensity factors", *International Journal of Solids and Structures*, Vol. 40, No. 15, pp. 3967-4001, (2003).
10. Hirano, T., Teraki, J. and Yamada, T., "On the design of functionally gradient materials", *Proceedings of the First International Symposium on Functionally Gradient Materials*, pp. 5-10, (1990).
11. Kawasaki, A. and Watanabe, R., "Thermal fracture behavior of metal/ceramic functionally graded biomaterial", *Engineering Fracture Mechanics*, Vol. 69, pp. 1713-1728, (2002).
12. Erdogan, F. and Sih, G.C., "On the crack extension in plates under plane loading and transverse shear", *ASME Journal of Basic Engineering*, Vol. 85, pp. 519-527, (1963).
13. Hussain, M.A., Pu, S.L. and Underwood, J., "Strain energy release rate for a crack under combined mode I and mode II", *Fracture Analysis*, ASTM STP 560, pp. 2-28, (1993).
14. Sih, G.C., "Strain energy density factor applied to mixed mode crack problems", *International Journal of Fracture*, Vol. 10, No. 3, pp. 305-321, (1974).
15. Kim, J.H. and Paulino, G.H., "Consistent formulations of the interaction integral method for fracture of functionally graded materials", *Journal of Applied Mechanics*, Transactions ASME 72, No. 3, pp. 351-364, (2005).
16. Kim, J.H. and Paulino, G.H., "An accurate scheme for mixed-mode fracture analysis of functionally graded materials using the interaction integral and micromechanics models", *International Journal for Numerical Methods in Engineering*, Vol. 58, No. 10, pp. 1457-1497, (2003).
17. Rice, J.R., "A path-independent integral and the approximate analysis of strain concentration by

- notches and cracks", *Journal of Applied Mechanics*, Transactions ASME 35, No. 2, pp. 379–386, (1968).
18. Eftis, J., Subramonian, N. and Liebowitz, H., "Crack border stress and displacement equations revisited", *Engineering Fracture Mechanics*, Vol. 9, No. 1, pp. 189–210, (1977).
  19. Yau, J.F., Wang, S.S. and Corten, H.T., "A mixed-mode crack analysis of isotropic solids using conservation laws of elasticity", *Journal of Applied Mechanics*, Transactions ASME 47, No. 2, pp. 335–341, (1980).
  20. Abanto-Bueno, J. and Lambros, J., "An Experimental Study of Mixed Mode Crack Initiation and Growth in Functionally Graded Materials", *Experimental Mechanics*, Vol. 46, pp. 179-196, (2006).
  21. Oral, A., Lambros, J. and Anlas, G., "Crack initiation in functionally graded materials under mixed mode loading, experiments and simulations", *Journal of Applied Mechanics*, Transactions ASME 75, No. 5, pp. 1-8, (2008).
  22. Ayatollahi, M.R., Pavier, M.J. and Smith, D.J., "Mode I cracks subjected to large T-stresses", *International Journal of Fracture*, Vol. 117, pp. 159–174, (2002).
  23. Becker, T.L., Cannon, R.M. and Ritchie, R.O., "Finite crack kinking and T-stresses in functionally graded materials", *International Journal of Solid and Structures*, Vol. 38, pp. 5545-5563, (2001).
  24. Sedighiani, K., Mosayebnejad, J., Ehsasi, H. and Sahraei, H.R., "The effect of T-Stress on the brittle fracture under mixed mode loading", *Procedia Engineering 10*, pp. 774-779, (2011).

